

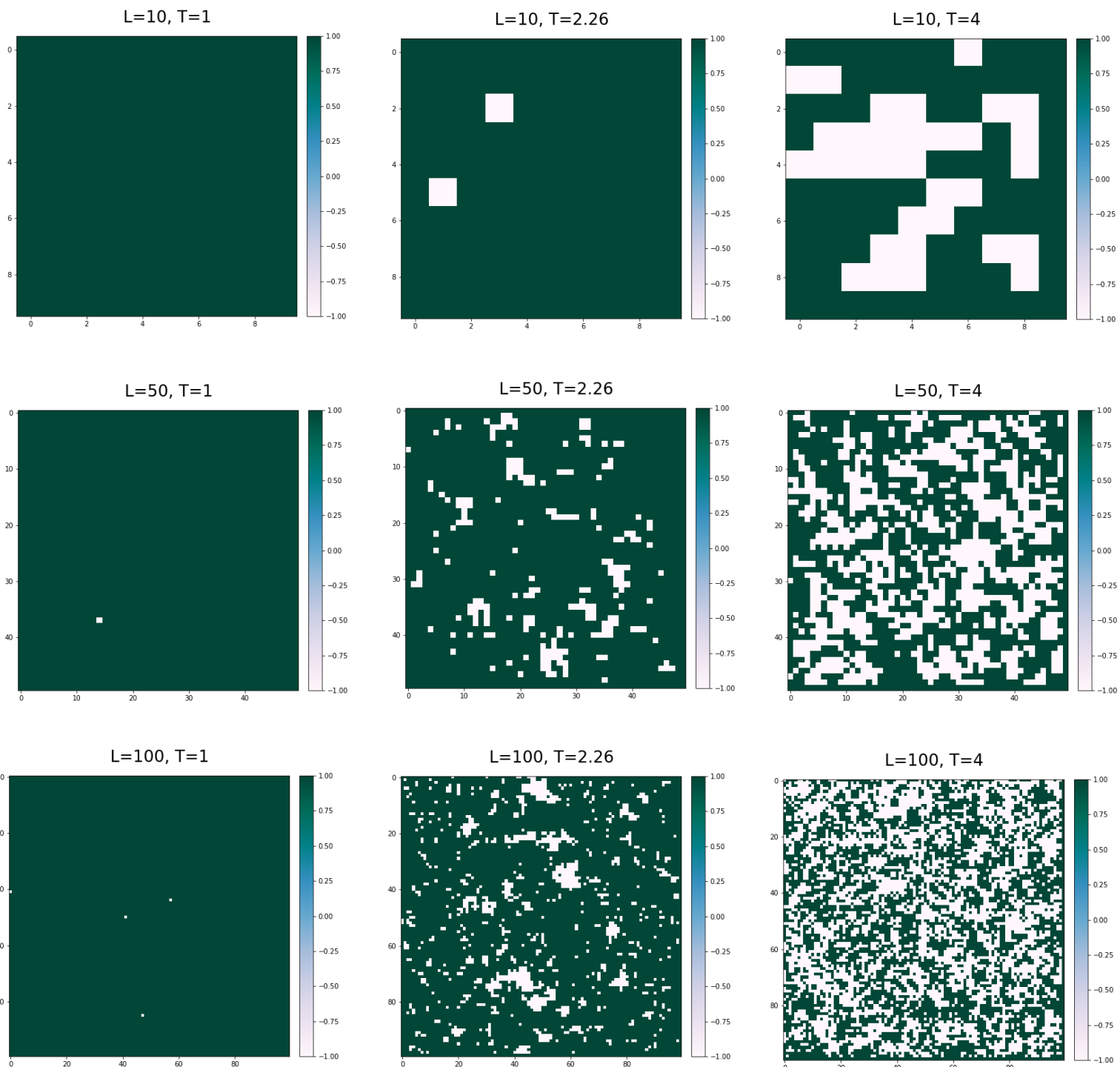
Symulacja Monte Carlo Modelu Isinga

Fizyka Układów Złożonych, Pwr, 2021

Karolina Rakus, 255746

Końcowe konfiguracje spinów

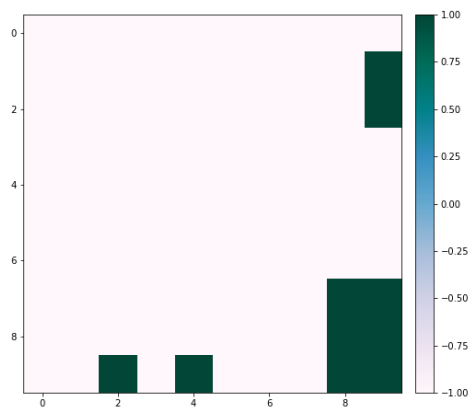
Dla uporządkowanego stanu początkowego



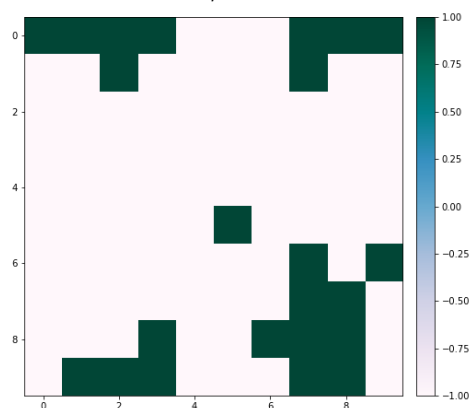
Końcowe konfiguracje spinów

Dla nieuporządkowanego stanu początkowego

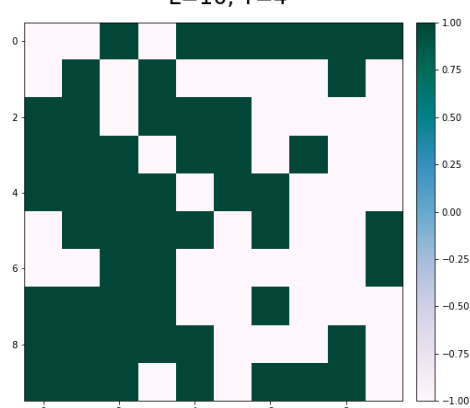
L=10, T=1



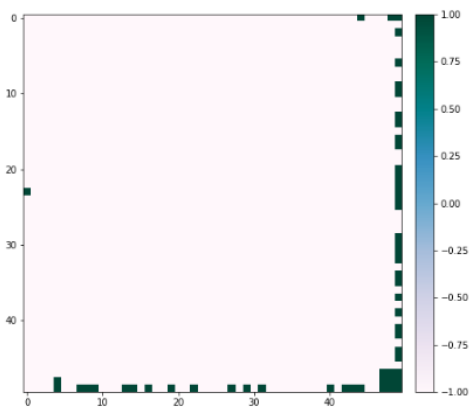
L=10, T=2.26



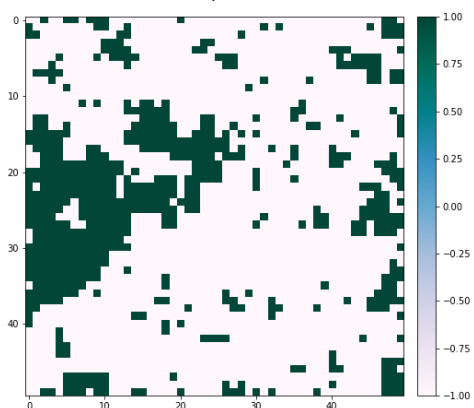
L=10, T=4



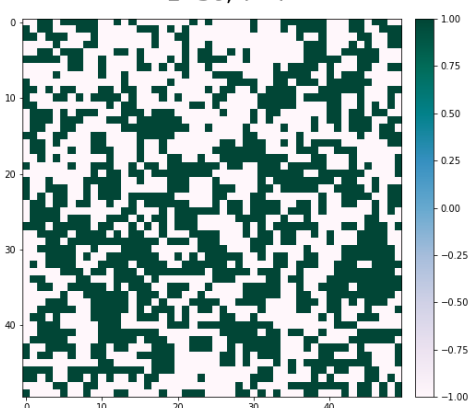
L=50, T=1



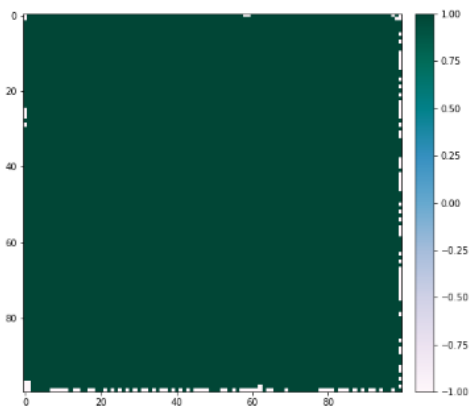
L=50, T=2.26



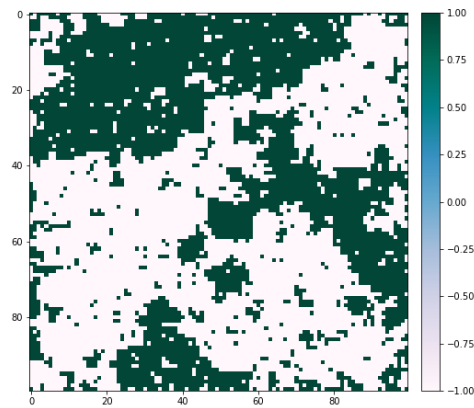
L=50, T=4



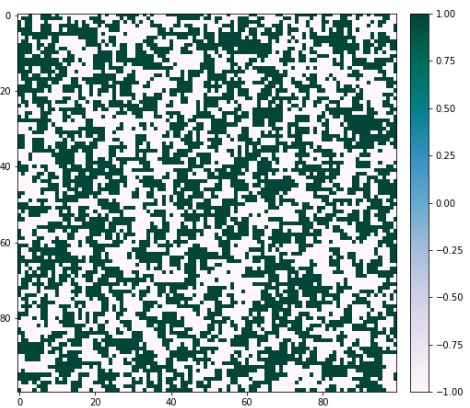
L=100, T=1



L=100, T=2.26

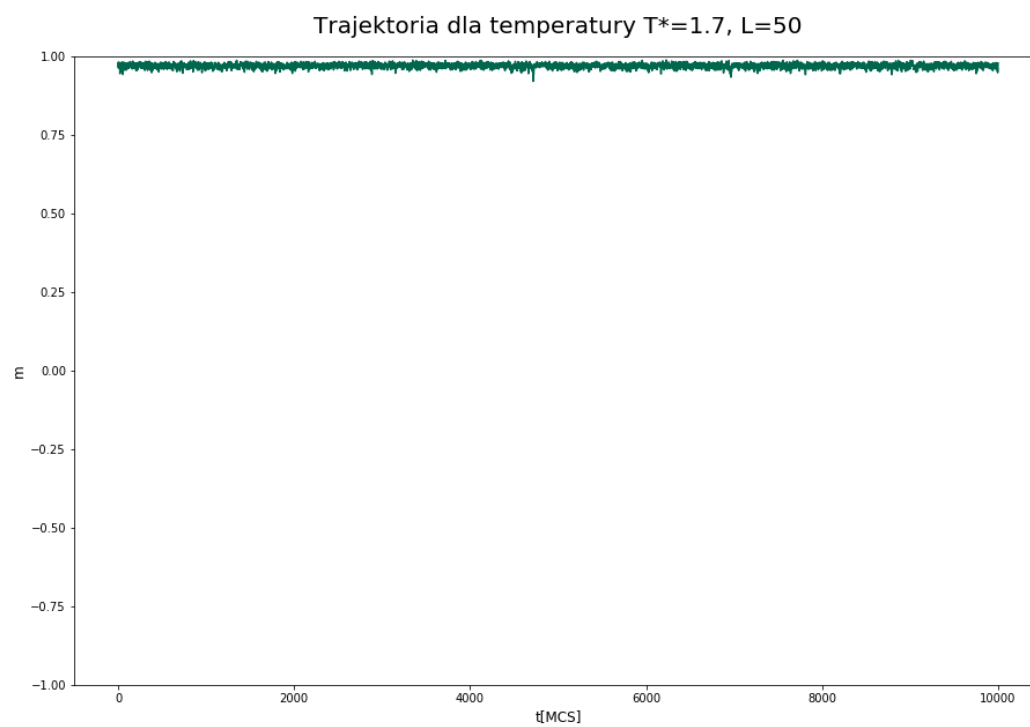
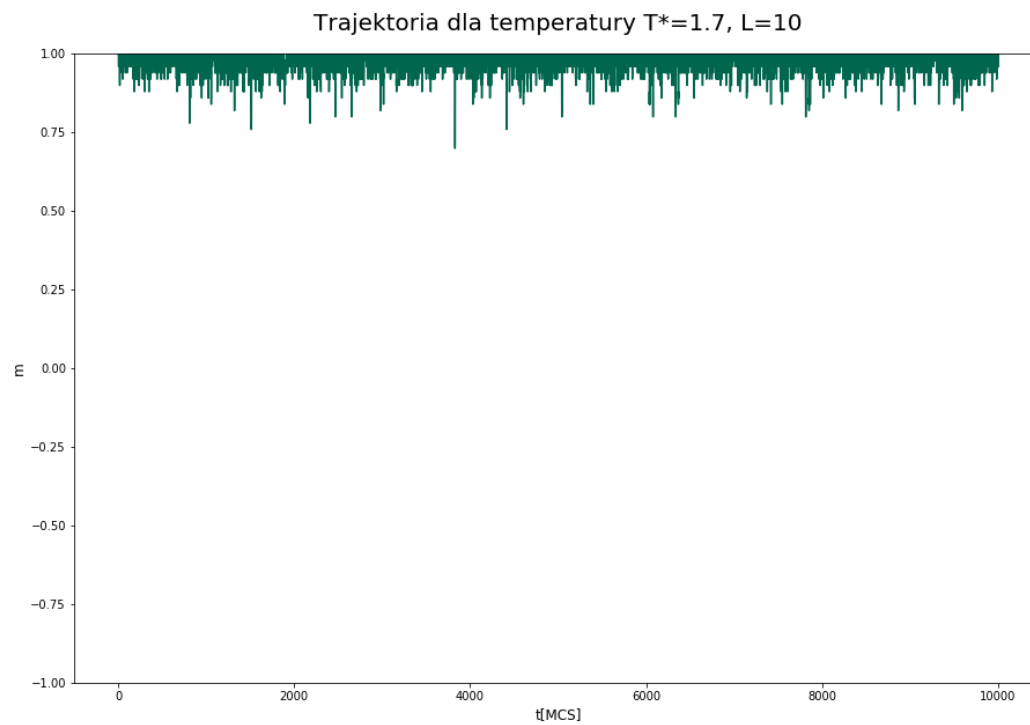


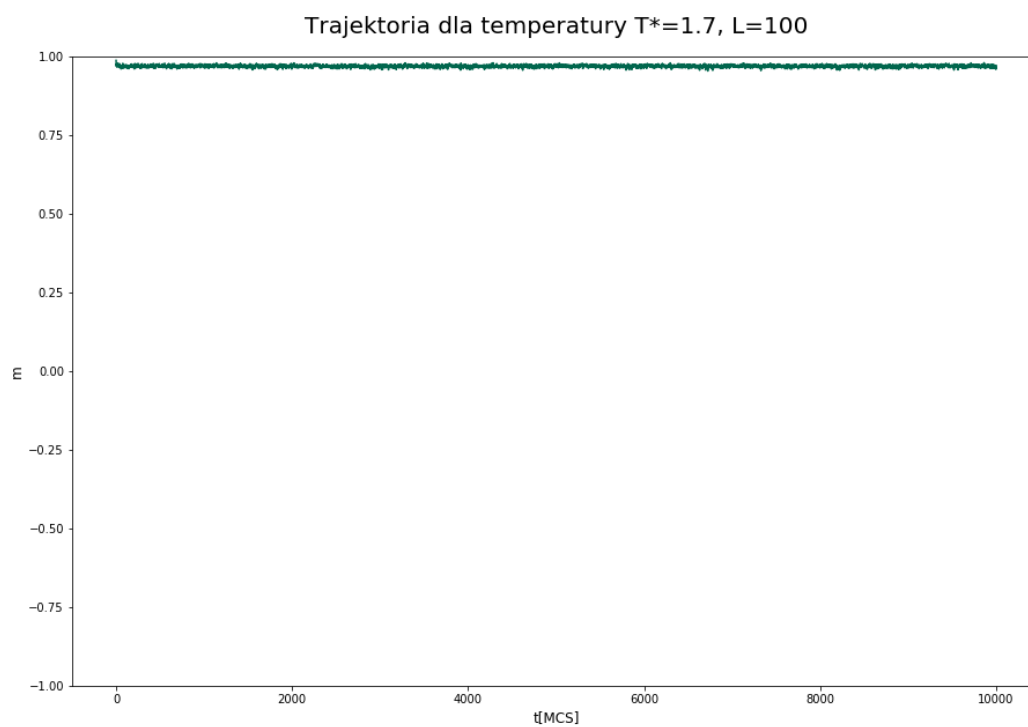
L=100, T=4



Pojedyncze trajektorie dla temperatury $T = 1.7$

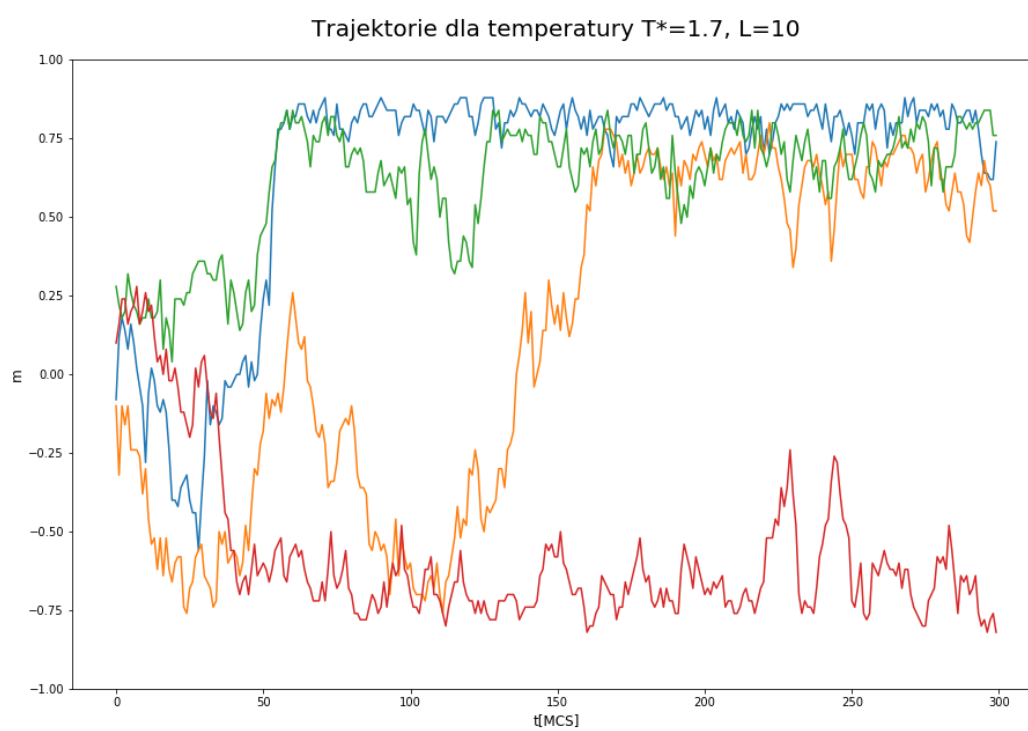
Dla uporządkowanego stanu początkowego





Pojedyncze trajektorie dla temperatury $T^*=1.7$

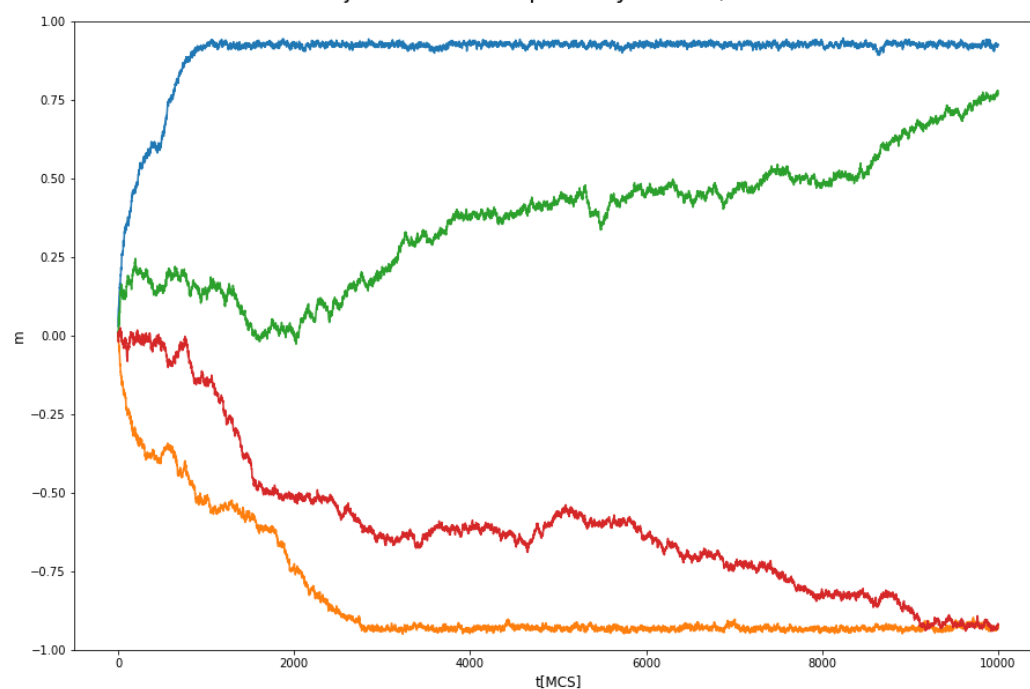
Dla nieuporządkowanego stanu początkowego



Trajektorie dla temperatury $T^*=1.7$, $L=50$

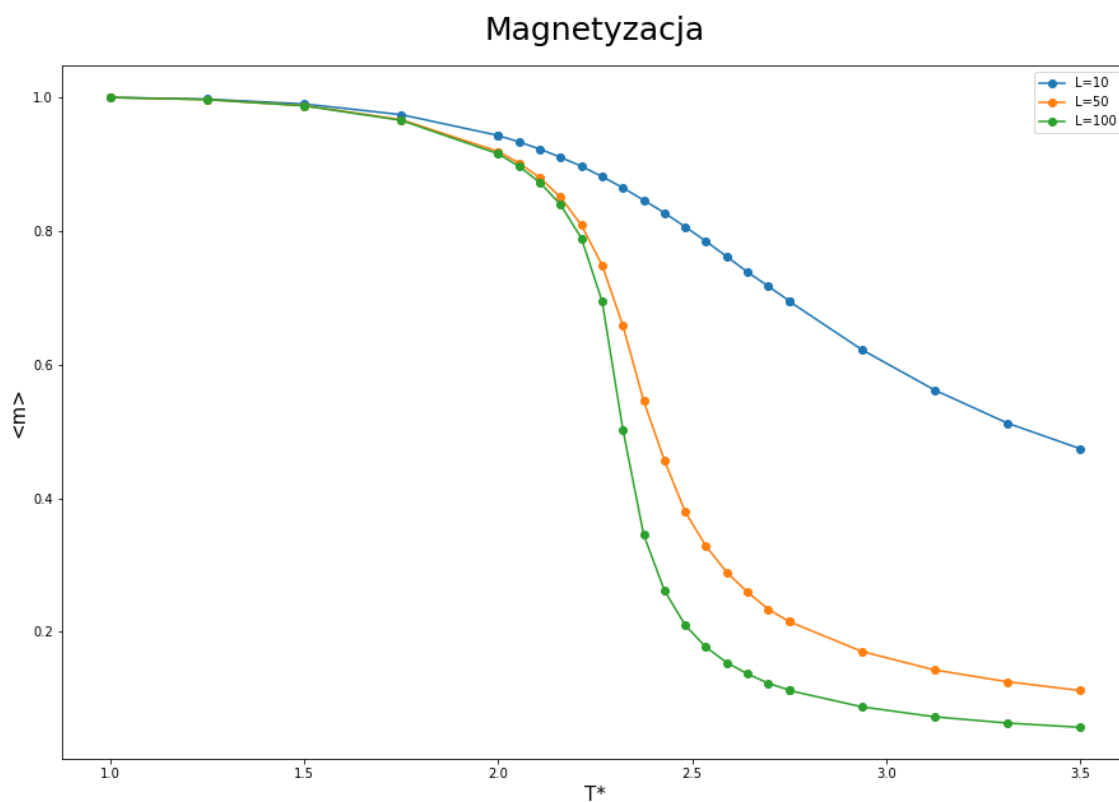


Trajektorie dla temperatury $T^*=1.7$, $L=100$



Magnetyzacja jako funkcja temperatury dla zakresu temperatur $T \in (1, 3.5)$

Dla uporządkowanego stanu początkowego



Podatność magnetyczna jako funkcja temperatury dla zakresu temperatur $T \in (1, 3.5)$

Dla uporządkowanego stanu początkowego

